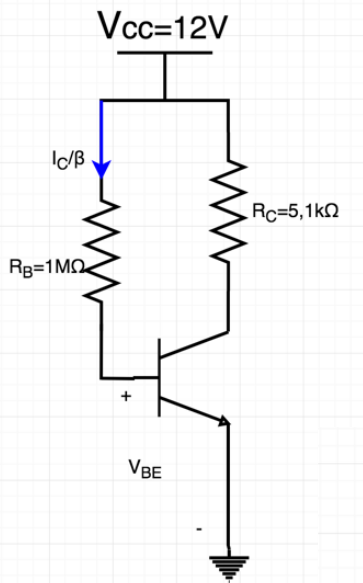


1- Exercice 1 :

Le schéma en statique de l'amplificateur de la fig.1 est représenté ci-dessous



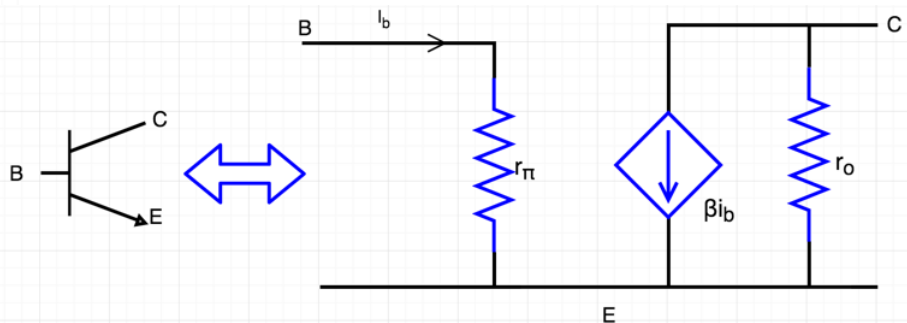
La loi des mailles se traduit par :

$$-V_{BE} + \frac{R_B I_C}{\beta} + V_{CC} = 0$$

Soit :

$$I_C = \frac{V_{CC} - V_{BE}}{I_C} \beta = \frac{11,3}{10^6} 100 = 1,13 \text{mA}$$

Le modèle équivalent 'petits signaux' du transistor dans la bande passante est illustré à la figure suivante :



$$r_{\pi} = \frac{\beta V_T}{I_C} = 100 \frac{25 \text{mV}}{1,13 \text{mA}} = 2,21 \text{k}\Omega.$$

La résistance r_o est supposée infinie.

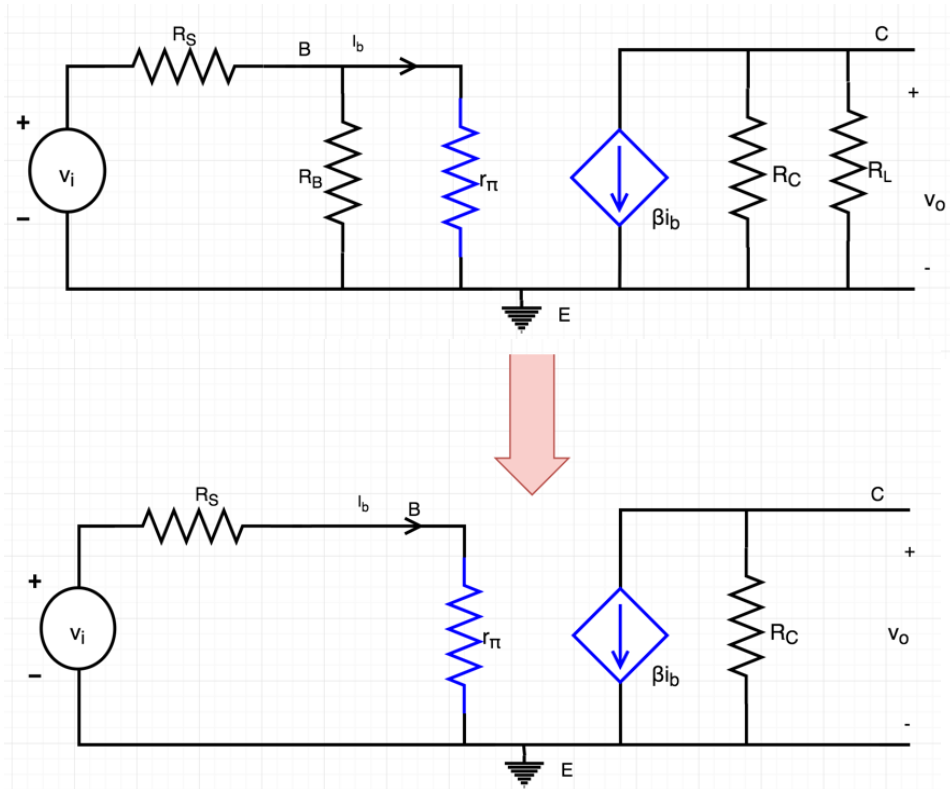
2- Schéma de l'amplificateur dans la bande passante

Les capacités de couplage sont des courts circuits. La capacité C_L est une capacité dont l'impédance est non négligeable dans la bande des hautes fréquences (capacité de qq pF) ; elle est assimilée à un circuit ouvert dans bande des fréquences intermédiaires et celle des basses fréquences.

Le schéma en dynamique en bande passante est celui illustré à la figure ci-dessous.

Compte tenu du fait que $R_L \gg R_C$ et $R_B \gg r_{\pi}$, nous aurons :

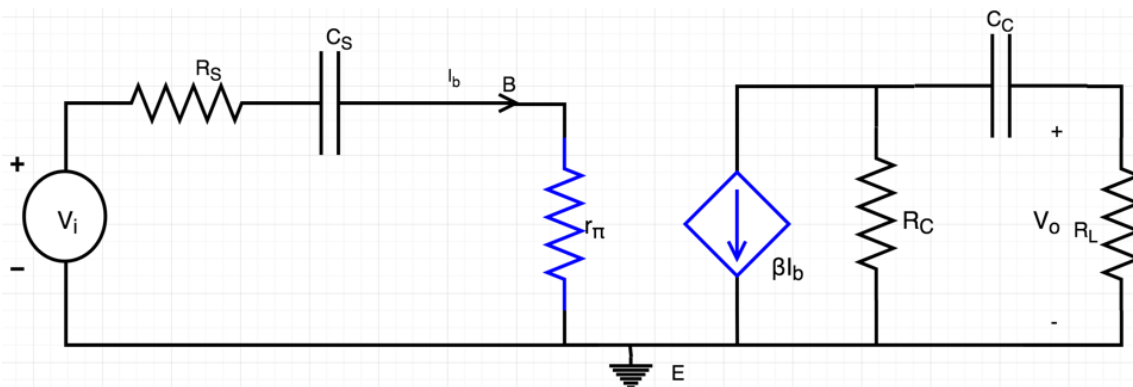
$$R_B || r_{\pi} \approx r_{\pi}, \quad R_C || R_L \approx R_C$$



On a : $v_o = -\beta R_C i_b$ et $v_i = (R_s + r_{\pi}) i_b$. Il s'ensuit que le gain en tension dans la bande de fréquences intermédiaires est donné par :

$$Av_M = \frac{v_o}{v_i} = -\beta \frac{R_C}{R_s + r_{\pi}} = -100 \frac{5.1}{1 + 2.21} = -155.76$$

3- En régime sinusoïdal à la fréquence $f = \frac{\omega}{2\pi}$ et en basses fréquences, le circuit équivalent de l'amplificateur devient :



Désignons par $I_L(j\omega)$ le courant qui traverse la charge R_L du collecteur vers l'émetteur. On note que $I_L(j\omega)$ désigne le phaseur en régime sinusoïdal permanent à la pulsation ω associé à $i_L(t)$.

La loi « Diviseur de courant » entraîne :

$$I_L = -\beta I_b \frac{R_C}{R_C + \frac{1}{C_C j\omega} + R_L}$$

On en déduit que :

$$V_o = R_L I_L = -I_b \frac{\beta R_L R_C}{R_C + \frac{1}{C_C j\omega} + R_L} = -R_L || R_C \beta I_b \frac{1}{1 - j \frac{\omega_2}{\omega}}$$

$$\text{Où } \omega_2 = \frac{1}{\tau_2} = \frac{1}{(R_L + R_C) C_C} = \frac{1}{10^{-5} (5.1 \cdot 10^3 + 10^6)} \frac{\text{rad}}{\text{s}} \cong 0.1 \text{ rad/s}, f_2 = \frac{0.1}{2\pi} \cong 0.016 \text{ Hz}$$

D'autre part, on a :

$$V_i = \left(R_s + r_\pi + \frac{1}{C_S j\omega} \right) I_b = (R_s + r_\pi) \left(1 - j \frac{\omega_1}{\omega} \right)$$

$$\text{Où } \omega_1 = \frac{1}{\tau_1} = \frac{1}{C_S (R_s + r_\pi)} = \frac{1}{10^{-5} \times (2.21 + 1) \times 10^3} = 31.15 \text{ rad/s}, f_1 = \frac{31.15}{2\pi} = 4.96 \text{ Hz}$$

Le gain

$$A_{v_{bf}}(j\omega) = -\frac{\beta R_C}{R_s + r_\pi} \frac{1}{1 - j \frac{\omega_1}{\omega}} \frac{1}{1 - j \frac{\omega_2}{\omega}} = A_{v_M} \frac{1}{1 - j \frac{\omega_1}{\omega}} \frac{1}{1 - j \frac{\omega_2}{\omega}}$$

Le gain peut être réécrit sous la forme suivante :

$$A_{v_{bf}} = K T_1 T_2$$

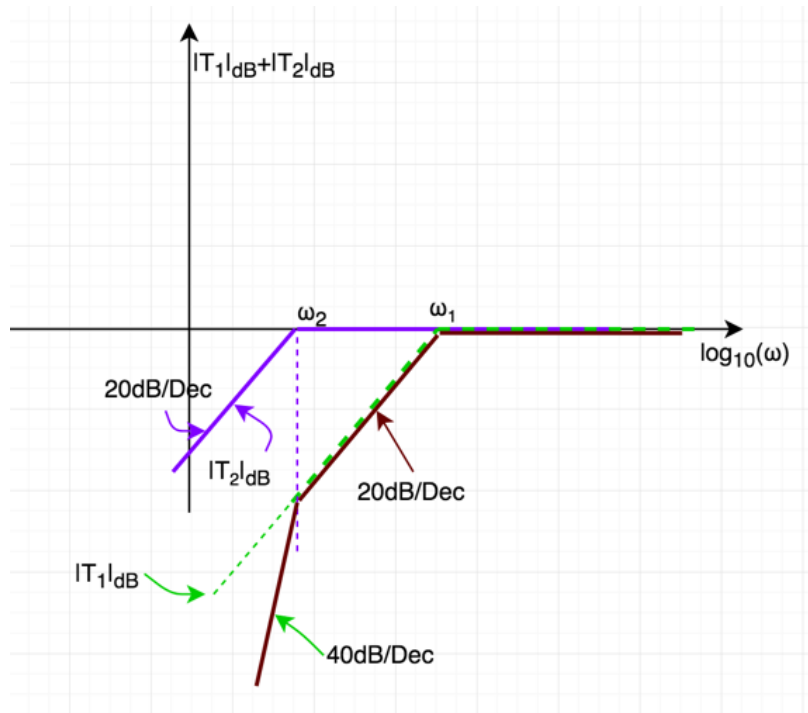
Où $T_i = \frac{1}{1 - j \frac{\omega_i}{\omega}}$, $i = 1, 2$ qui représente la fonction de transfert d'un filtre passe haut de

fréquence de coupure $f_i = \frac{\omega_i}{2\pi}$.

Le gain en décibel s'écrit :

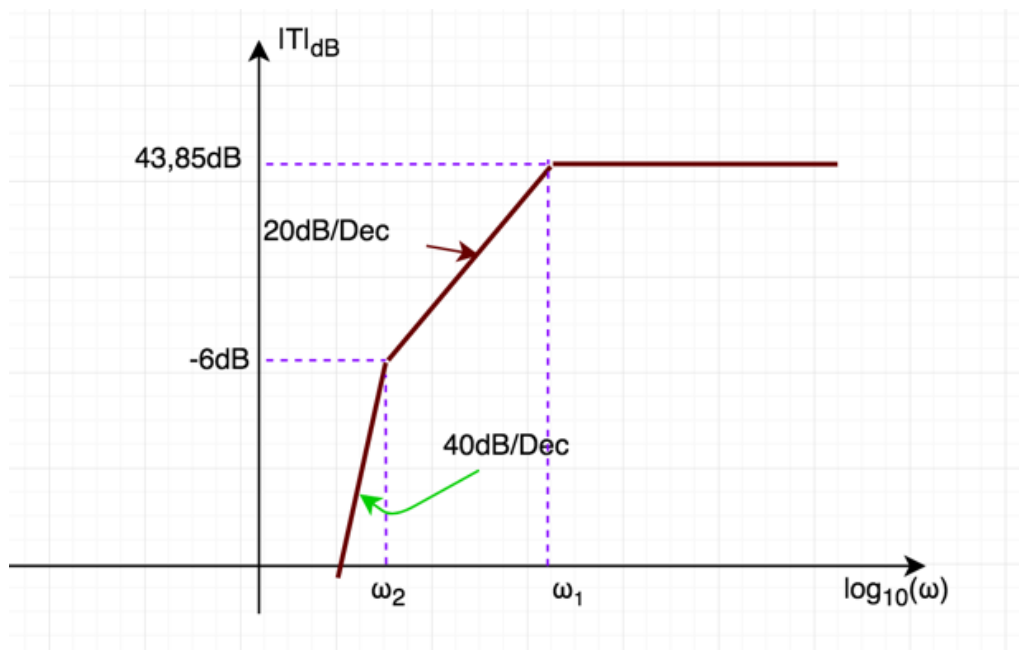
$$|A_{v_{bf}}|_{dB} = 20 \log_{10}(|A_{v_{bf}}|) = |K|_{dB} + |T_1|_{dB} + |T_2|_{dB}$$

L'addition graphique nous est illustrée à la figure ci-dessous.



Le gain K en décibel vaut : $|K|_{dB} = 20 \log_{10}(155,76) = 43,85dB$.

Le diagramme Asymptotique du gain est représenté à la figure suivante :



Il s'agit du diagramme d'un filtre passe haut.

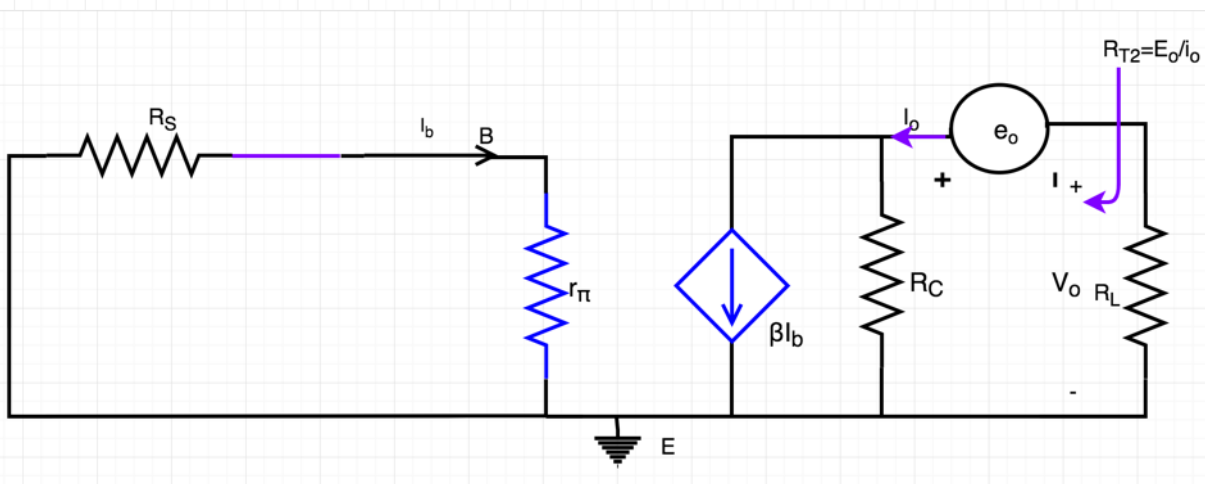
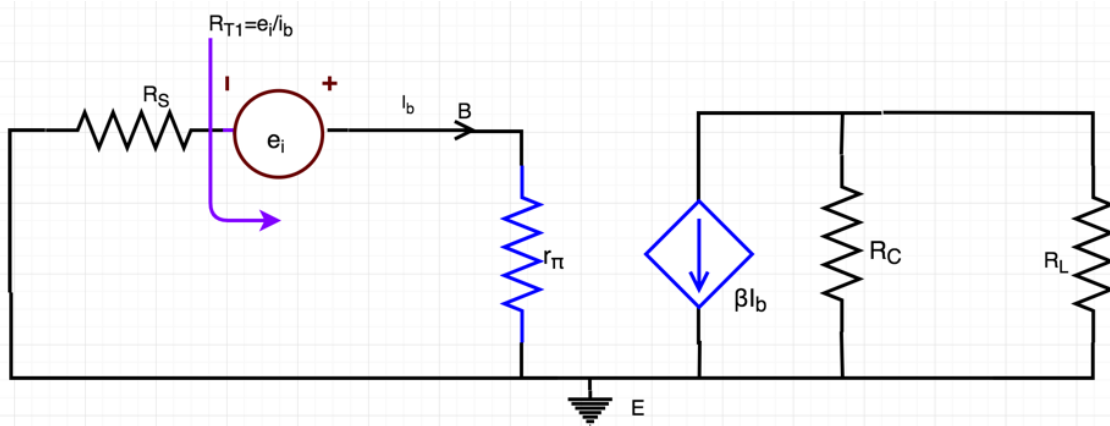
4- Estimation de la fréquence basse f_b / Méthode des constantes de temps :

La fréquence basse peut être estimée par :

$$f_b \cong f_{C_S} + f_{C_C}$$

Où $f_{C_S} = \frac{1}{2\pi R_{T1} C_S}$ avec R_{T1} est la résistance de Thévenin vue par C_S lorsque l'autre condensateur est un court-circuit. De même $f_{C_C} = \frac{1}{2\pi R_{T2} C_C}$ où R_{T2} est la résistance de Thévenin vue par C_C lorsque C_S est un court-circuit.

Les Schémas pour le calcul de f_{C_S} et f_{C_C} sont représentés ci-dessous.



Il est aisé de déduire R_{T1} à partir de la maille d'entrée :

$$e_i = (R_S + r_\pi) i_b,$$

Soit :

$$R_{T1} = R_S + r_\pi$$

Il s'ensuit que :

$$f_{C_s} = f_1 = 4.96\text{Hz}.$$

Pour le second schéma relatif à R_{T_2} , le courant i_b est nul. Il en résulte que $R_{T_2} = R_C + R_L$ et la fréquence $f_{C_c} = f_2 = 0.016\text{Hz}$

La fréquence $f_b \approx 4.96 + 0.016\text{Hz} \cong 5\text{hz}$

Exercice 2 :

- 1-** Le transistor bipolaire en hautes fréquences est caractérisé principalement par les capacités C_π et C_μ . L'effet de la capacité entre l'émetteur et le collecteur n'est pas pris en compte.

La capacité C_μ peut être déduite de la relation exprimant la fréquence f_T (fréquence à laquelle le gain en courant de l'émetteur commun soit égal à l'unité) :

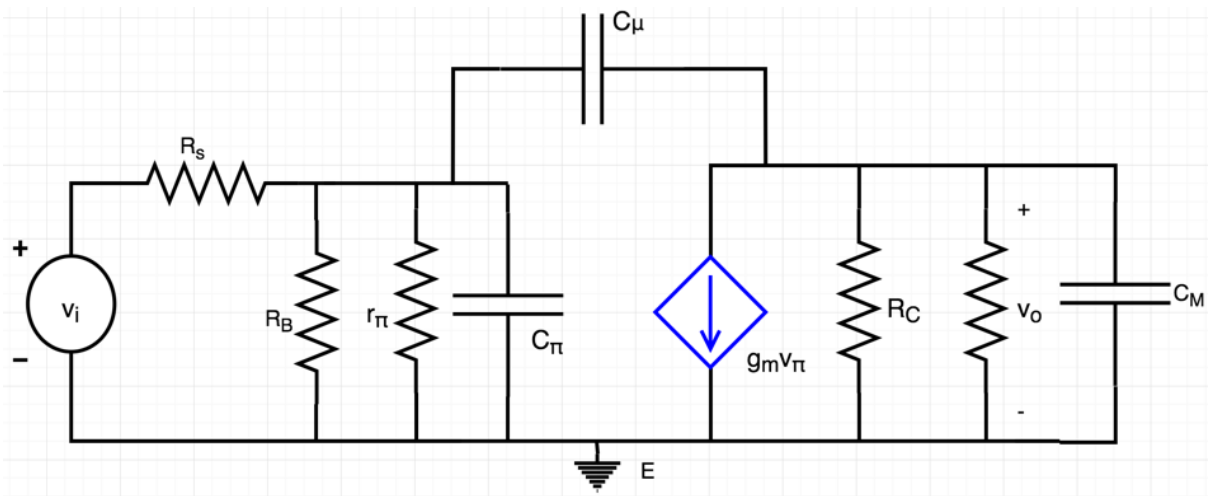
$$C_\pi = \frac{g_m}{\omega_T} - C_\mu$$

$$g_m = \frac{I_C}{V_T} = \frac{1\text{mA}}{25\text{mV}} = 0.04\text{S} = 40\text{mS}$$

$$C_\pi = \frac{0.04}{2\pi \cdot 450 \times 10^6} - 2\text{pF} \cong 14\text{pF} - 2\text{pF} = 12\text{pF}$$

$$r_\pi = \frac{\beta}{g_m} = \frac{100}{40\text{mS}} = 2.5\text{k}\Omega$$

- Schéma de l'amplificateur en HF



La capacité C_M est de l'ordre de quelques pF ; elle intervient donc en hautes fréquences. Les capacités de couplages et de découplages sont assimilées à des courts circuits dans la bandes des HF.

2- Estimation de la fréquence f_h par la méthode des constantes de temps

La fréquence de coupure haute peut être estimée ainsi :

$$f_h \cong \frac{1}{2\pi\tau_h}$$

où $\tau_h = \tau_\pi + \tau_M + \tau_\mu$

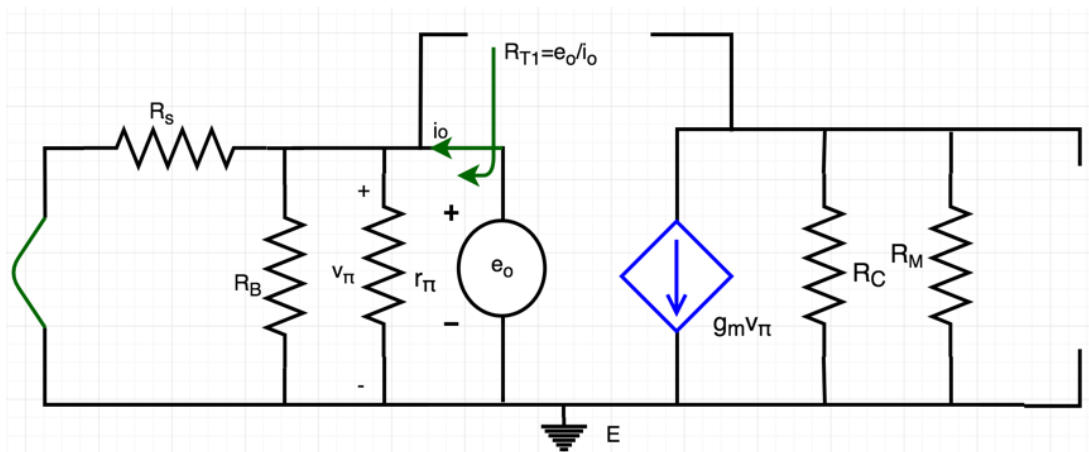
$\tau_\pi = R_{T_1} C_\pi$, R_{T_1} est la résistance de Thévenin vue par C_π lorsque les capacités C_M et C_μ sont des circuits ouverts.

$\tau_\mu = R_{T_2} C_\mu$, R_{T_2} est la résistance vue par la capacité C_μ lorsque les deux autres capacités sont débranchées.

$\tau_M = R_{T_3} C_M$, R_{T_3} est la résistance vue par la capacité C_M lorsque les deux autres capacités sont des circuits ouverts.

- **Détermination de R_{T_1} / f_π**

On adopte le schéma ci dessous.



Il est clair que $R_{T_1} = \frac{e_o}{i_o} = (r_\pi || R_B || R_s)$.

La résistance $R_B = R_1 || R_2 = 20k\Omega || 10k\Omega \cong 6,67k\Omega$

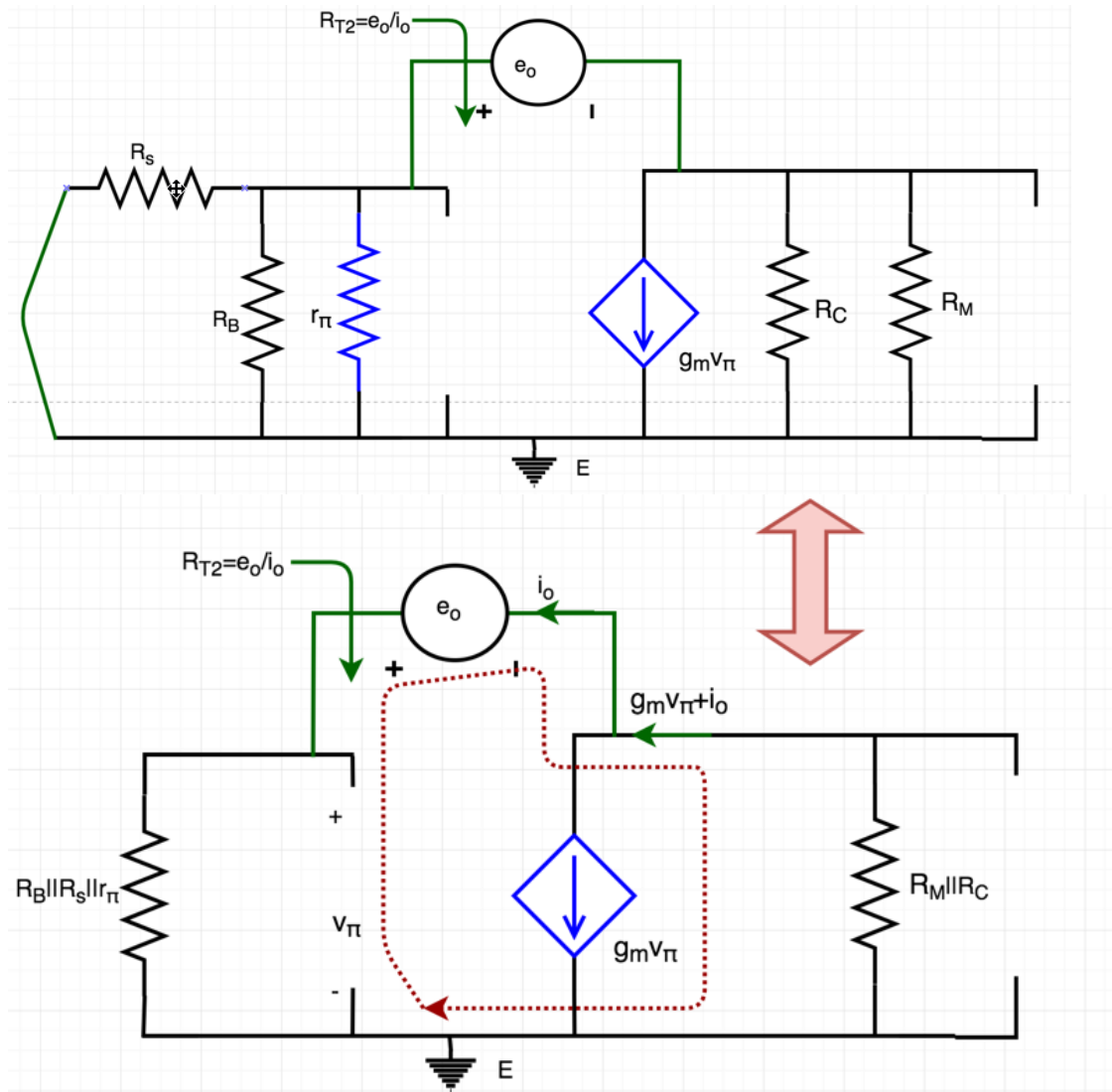
$$R_{T_1} = 2.5 || 6.67 || 1k\Omega = 0.7 || 6.67k\Omega \cong 0.645k\Omega$$

$$\tau_\pi = R_{T_1} C_\pi = 0.645 \times 10^3 \times 12 \times 10^{-12} = 7.74ns$$

Désignons par f_π la fréquence relative la capacité C_π . On a :

$$f_\pi = \frac{1}{2\pi R_{T_1} C_\pi} = \frac{1}{2\pi \tau_\pi} = \frac{1}{2\pi \cdot 7.74 \times 10^{-9}} = 20.5 \text{ MHz}$$

• Détermination de R_{T_2}/f_μ



On a :

$$v_\pi = R_B || R_s || r_\pi i_o$$

La loi des mailles appliquée au contour en pointillés du schéma ci-dessous se traduit par :

$$-v_\pi + e_o - R_M || R_C (i_o + g_m v_\pi) = 0$$

Soit :

$$(1 + g_m R_M || R_C) v_\pi + R_M || R_C i_o = e_o$$

$$(1 + g_m R_M || R_C) R_B || R_S || r_\pi i_o + R_M || R_C i_o = e_o$$

La résistance R_{T_2} est définie par :

$$R_{T_2} = (1 + g_m R_M || R_C) R_B || R_S || r_\pi + R_M || R_C \\ \cong (1 + 40 \times 5) \times 6.67 || 1 || 2.5 + 5 = 134.6 k\Omega$$

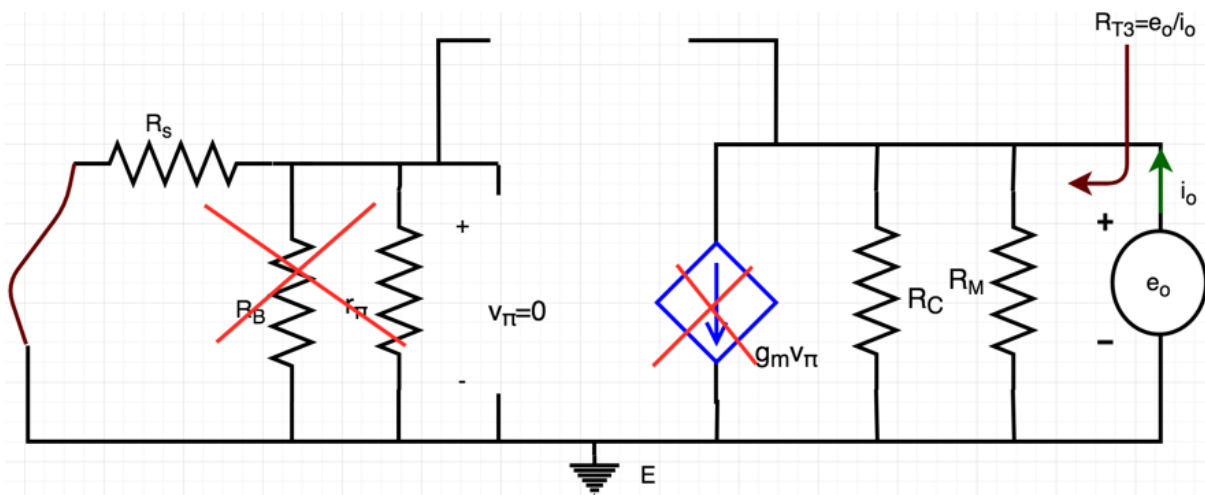
La constante de temps τ_μ admet pour valeur :

$$\tau_\mu = R_{T_2} C_\mu = 134.6 \times 10^3 \times 2 \times 10^{-12} s = 270 ns$$

La fréquence associée f_μ est définie par :

$$f_\mu = \frac{1}{2\pi\tau_\mu} = \frac{1}{2\pi \times 270 \times 10^{-9}} = 589.5 kHz$$

- Détermination de R_{T_3}/f_M



La tension d'entrée est nulle. Il s'ensuit que la source $g_m v_\pi$ est nulle (circuit-ouvert) et on aura :

$$R_{T_3} = \frac{e_o}{i_o} = R_C || R_M \cong R_C = 5 k\Omega.$$

La constante $\tau_M = R_{T_3} C_M = 5 \times 10^3 \times 4 \times 10^{-12} s = 20 ns$

La fréquence f_M est définie par :

$$f_M = \frac{1}{2\pi\tau_M} = \frac{1}{2\pi \times 20 \times 10^{-9}} \cong 7.95 MHz$$

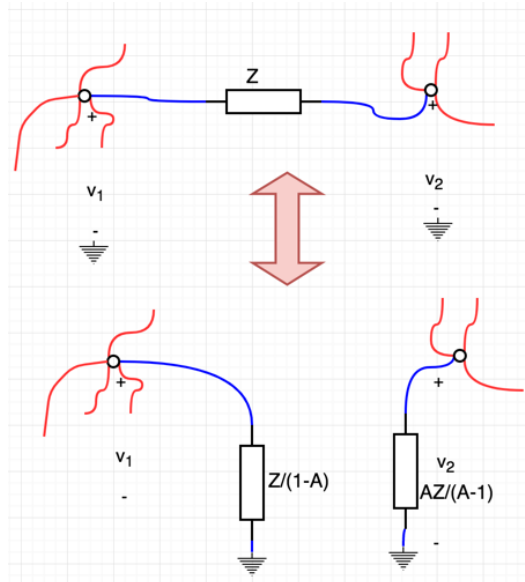
La fréquence haute peut être donc estimée par :

$$f_h \cong \left(\frac{1}{f_\pi} + \frac{1}{f_\mu} + \frac{1}{f_M} \right)^{-1} = \left(\frac{1}{20.5} 10^{-6} + \frac{1}{589.5} 10^{-3} + \frac{1}{7.95} 10^{-6} \right)^{-1} = 534.49 \text{ kHz}$$

Estimation de la fréquence f_h à l'aide du Théorème de Miller.

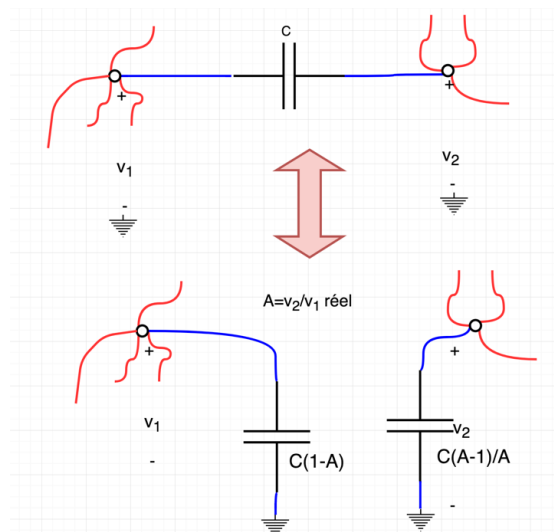
Rappel :

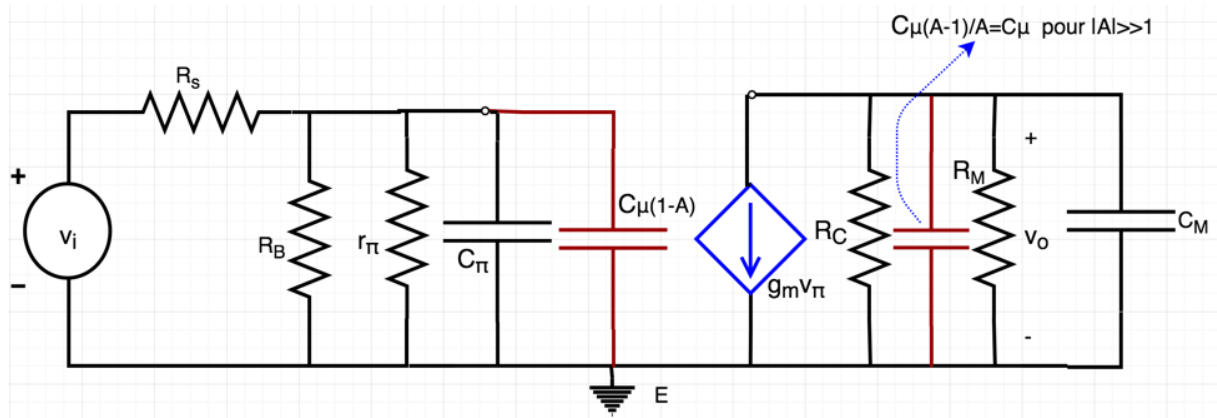
Le théorème Miller peut être décrit schématiquement par la représentation ci-dessous où $A = v_2/v_1$.



Dans le cas où Z représente l'impédance associée à une capacité et le gain A est réel, on aura l'équivalence décrite dans la figure ci-contre.

L'application du théorème de Miller en adoptant pour le gain A le gain dans la bande passante de l'amplificateur, nous conduit au schéma HF de la figure suivante.





Le gain A est défini par :

$$A = \frac{v_o}{v_\pi} \cong -g_m R_C \parallel R_M, \quad |A| \gg 1$$

Désignons $C_{Mi} = C_\pi + (1 - A)C_\mu$. Cette capacité est celle qu'on a spécifié dans les notes de cours comme étant la 'capacité Miller'.

$$C_{Mi} = C_\pi + (1 + g_m R_C \parallel R_M)C_\mu$$

La constante de temps τ_{Mi} associée à cette capacité est obtenue en remplaçant les capacités à la sortie (C_μ et C_M) par des circuits ouverts. Il s'ensuit donc que :

$$\tau_{Mi} = \underbrace{(C_\pi + (1 + g_m R_C \parallel R_M)C_\mu)}_{C_{Mi}} R_B \parallel R_s \parallel r_\pi$$

Désignons par τ_o la constante de temps associée à la capacité $C_o = C_\mu + C_M$. La résistance vue par cette capacité, lorsque les capacités à l'entrées sont des Circuits Ouverts (CO) est :

$$R_o = R_C \parallel R_M$$

La constante de temps vaut donc :

$$\tau_o = R_o C_o = R_C \parallel R_M C_\mu + R_C \parallel R_M C_M$$

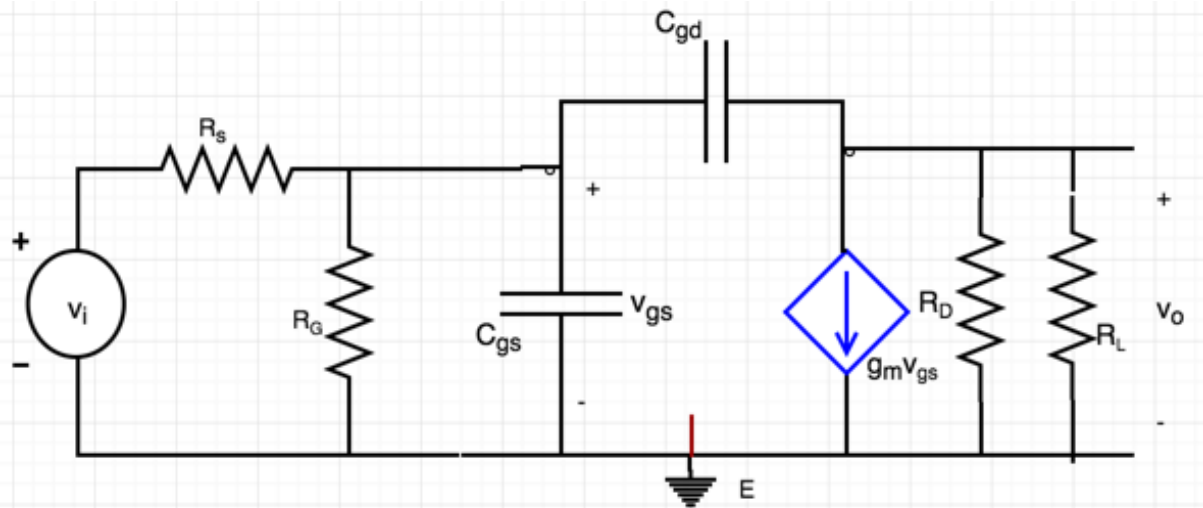
La fréquence f_h est :

$$f_h \cong \frac{1}{2\pi\tau_h}, \quad \tau_h = \tau_{Mi} + \tau_o = \underbrace{(C_\pi + (1 + g_m R_C \parallel R_M)C_\mu)}_{C_{Mi}} R_B \parallel R_s \parallel r_\pi + R_C \parallel R_M C_\mu + R_C \parallel R_M C_M$$

Le résultat ainsi obtenu est le même déduit à partir de la méthode des constantes de temps.

Exercice 3 :

1- Le schéma en HF de l'amplificateur est représenté à la figure ci-dessous :



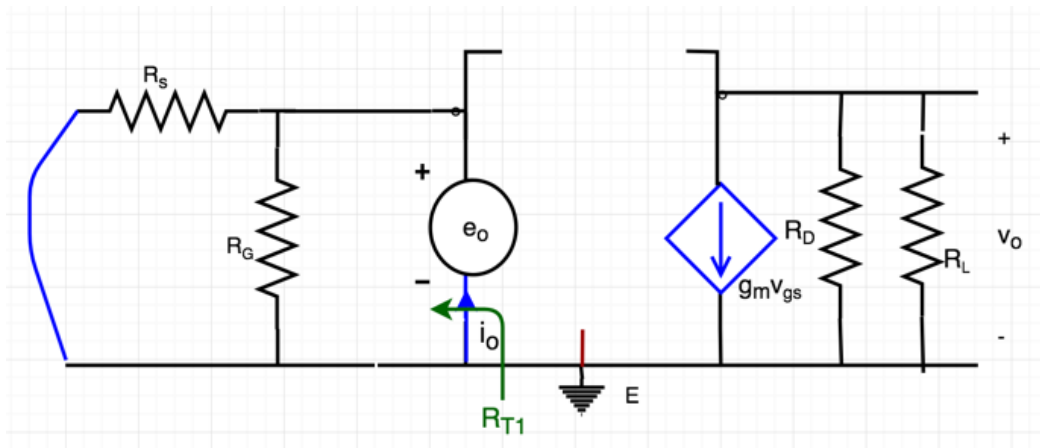
La fréquence haute de l'amplificateur peut être estimée par la méthode des constantes de temps ainsi :

$$f_h = \frac{1}{2\pi\tau_h}$$

où $\tau_h = \tau_{gs} + \tau_{gd}$, $\tau_{gs} = R_{T1}C_{gs}$ et $\tau_{gd} = R_{T2}C_{gd}$. R_{T1} est la résistance vue par C_{gs} lorsque la capacité C_{gd} est déconnectée (CO).

✓ Détermination de R_{T1} :

Schéma :

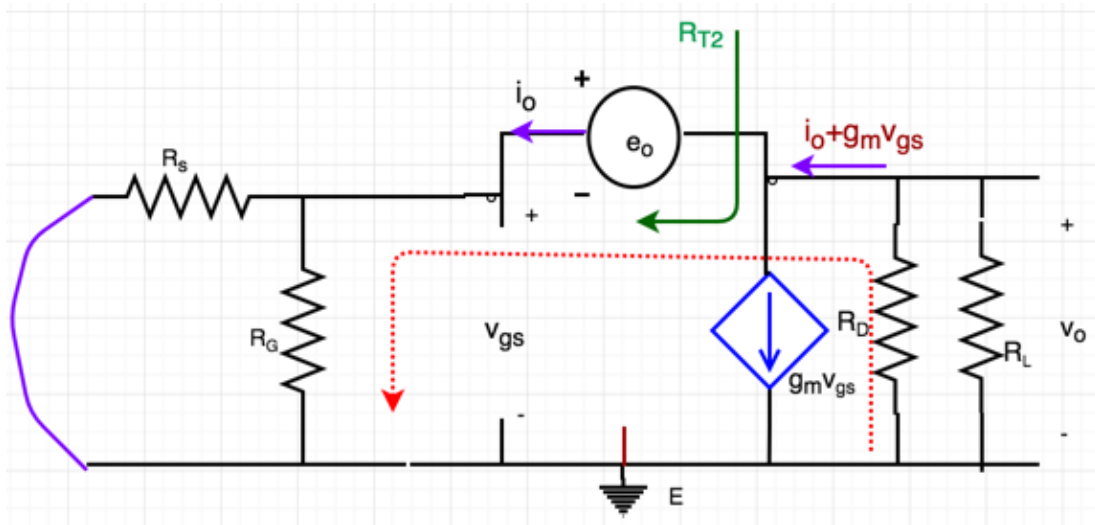


Il est clair que $R_{T1} = \frac{e_o}{i_o} = R_s \parallel R_G = 100\Omega \parallel 100M\Omega \cong 100\Omega$

$$\tau_{gs} = R_{T1} C_{gs} = 100 \times 4 \times 10^{-12} s = 4 \times 10^{-10} s = 0.4 ns$$

✓ Détermination de R_{T2} :

Schéma :



La loi des mailles (Chemin indiqué en pointillés) se traduit par :

$$(R_D \parallel R_L)(i_o + g_m v_{gs}) - e_o + v_{gs} = 0$$

$$e_o = R_D \parallel R_L i_o + (1 + g_m R_D \parallel R_L) v_{gs}$$

D'autre part, on a :

$$v_{gs} = R_s \parallel R_G i_o \cong R_s i_o$$

Il s'ensuit que :

$$R_{T2} = \frac{e_o}{i_o} = R_D \parallel R_L + (1 + g_m R_D \parallel R_L) R_s$$

$$R_{T2} = 2.2k \parallel 22k + (1 + 6 \times 2.2 \parallel 22) 0.1k\Omega = 2k + 1.3k = 3.3k\Omega$$

La constante de temps vaut :

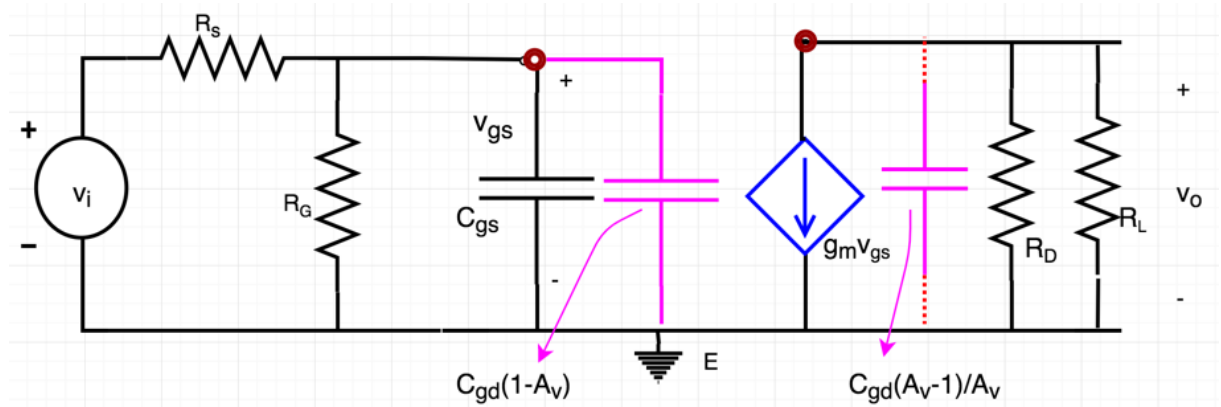
$$\tau_{gd} = R_{T2} C_{gd} = 3.3k \times 2 \times 10^{-12} = 6.6 \times 10^{-9} s = 6.6 ns$$

La fréquence haute est donc approximativement :

$$f_h = \frac{1}{2\pi(0.4 + 6.6)} \text{GHz} = 22.7 \text{MHz}$$

3-

L'application du théorème de Miller au circuit de la figure 3 (Série 2) permet



d'obtenir le schéma de la figure ci-dessus à condition que le gain $A_v = \frac{v_o}{v_{gs}}$ soit réel. C'est le cas si le courant qui traverse la capacité qui fait le pont entre l'entrée et la sortie du circuit de la figure 3 soit une composante négligeable devant le courant $g_m v_{gs}$. Cette approximation suppose que le circuit sera approximé par une fonction de transfert d'ordre 1 (1 seule composante de stockage d'énergie) au lieu de considérer le circuit initial qui est un circuit d'ordre 2.

Dans ce cas, le gain A_v se déduit directement puisqu'on a :

$$v_o = -g_m R_D || R_L v_{gs}$$

Soit :

$$A_v = -g_m R_D || R_L = -6 \times 2.2 || 22 = -12.$$

La capacité d'entrée est donc :

$$C_e = C_{gs} + C_{gd}(1 + g_m R_D || R_L) = 4 \text{pF} + 13 \times 2 \text{pF} = 30 \text{pF}$$

Il est aisé de déduire que :

$$f_h = \frac{1}{2\pi\tau'_h}$$

où $\tau'_h = R_s || R_G C_e = R_s || R_G (C_{gs} + (1 + g_m R_D || R_L) C_{gd}) \cong 0.1k(4 + 13 \times 2) \times 10^{-12} s = 3ns$

$$f_h = \frac{1}{2\pi \times 3} GHz = 53 MHz$$

Nous constatons que le fait de considérer une approximation d'ordre 1 du circuit initialement d'ordre 2 a entraîné une disparité dans les résultats de la fréquence haute.